

# FSD 1 Fragenkatalog

## Vl 1

1. 1. internationale Norm DIN EN ISO 9906 legt Prüfung des hyd. Leistungswertes von Kreiselpumpen fest

## Vl 2

2. 1. Fluid ist - entweder eine Flüssigkeit oder ein Gas

- ein Kontinuum
- Newton-Fl. nimmt in Ruhe keine Schubspannungen aber Normalspannungen auf

2. 2. - Wässer

- Öle
- Gase
- Dampf

2. 3. Kraftmaschine (Turbine):

- Wasserturbine
- Windturbine
- Gasturbine

Arbeitsmaschine (Pumpe):

- Kreiselpumpe
- Ventilatoren
- Gebläse

2. 4. Kraftmaschine:

- Gasturbine
- Wasserturbine
- Windturbine
- Dampfturbine

Arbeitsmaschine

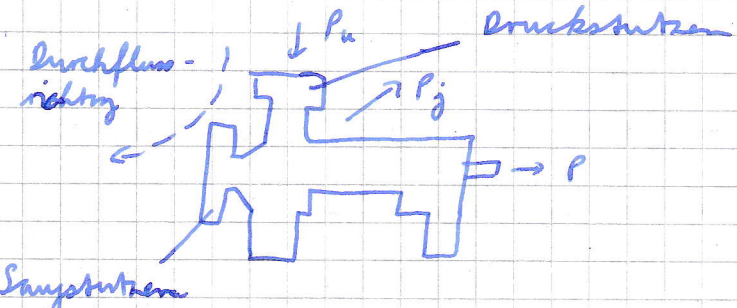
- Kreiselpumpe
- Schiffspropeller
- Gebläse
- Turbaverdichter
- Ventilatoren
- Turbokompressor

Kombination

- Hydromechanischer Wandler
- Hydromechanische Kupplung
- Pumpenaggregatemaschine

## 2.5.

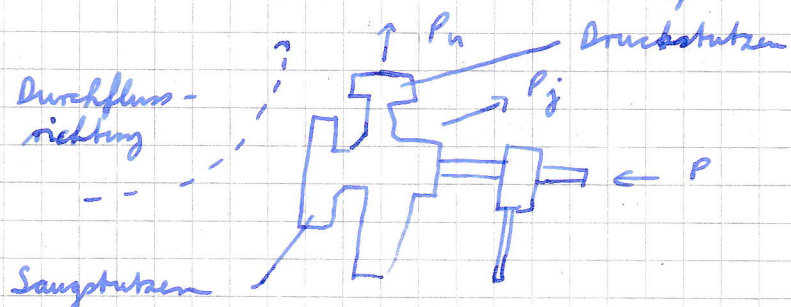
## Kraftmaschine (Turbine)



Index n: rezipiel

Index j: junk

## Arbeitsmaschine (Kompressor)

 $P \hat{=}$  Mechanische Leistung

$$2.6. \quad \text{Druckgrenze: } 0 \leq \frac{|p_2 - p_1|}{p_1} \leq 0,3$$

 $p_2 \hat{=}$  Druck am Druckstrutzen

Geschwindigkeitsgrenze:

$$Ma = \frac{v}{a} < 0,3$$

 $p_1 \hat{=}$  Druck am Saugstrutzen $v \hat{=}$  Geschwindigkeit des K. $a \hat{=}$  Schallgeschwindigkeit.

2.7. Kennzeichen einer Strömungsmaschine ist das mit Schaufeln besetzte, gleichmäßig umlaufende Laufrad, dessen Schaufeln von einem Fluid stetig umströmt werden. Eine Strömungsmaschine hat die Aufgabe, entweder als Kraftmaschine Energie in mech. Arbeit umzuwandeln oder als Arbeitsmaschine einem Fluid Energie zuzuführen.

2.8. Bei der Umlösung wird durch Trägheitskräfte ein Strömungsdruck erzeugt, der die Arbeitsleistung bewirkt.

Der Strömungsdruck beruht hauptsächlich auf der Trägheitswirkung der Masse des R. infolge der Ablenkung durch die Schaufeln.

- 2.9. - Welle - Raufad  
 - Füger  
 - Schäuse  
 - Dichtung - Heitzwirking  
 - Saugstutzen  
 - Druckstutzen

2.10 - Meridianschnitt

- Grundriss

2.11 - Meridianschnitt

- Grundriss

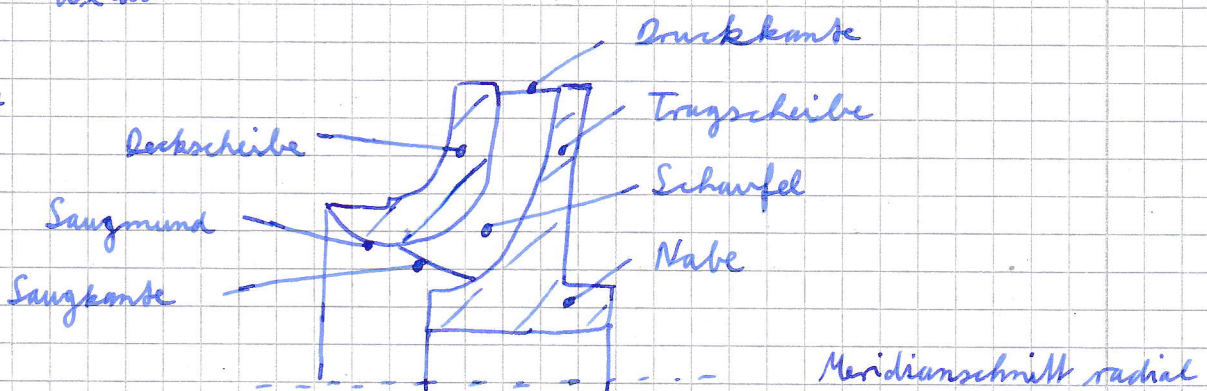
2.12 - Meridianschnitt

- Gitterschnitt

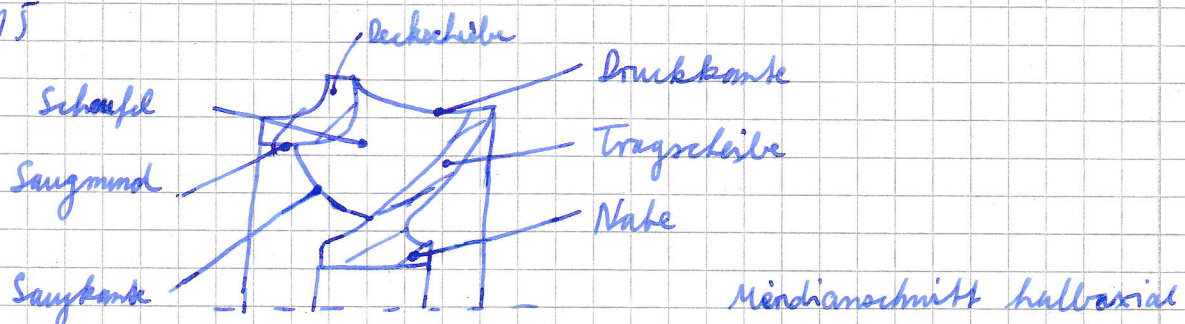
2.13 - radial

- halbaxial
- axial

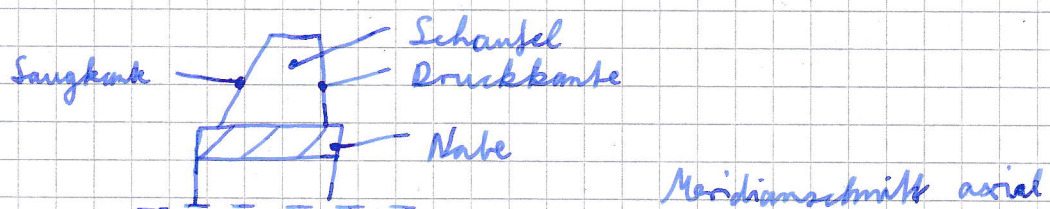
2.14



2.15



2.16



2.17 Laufrad überträgt Leistung durch Beschleunigung, Verzögerung und Umlenkung eines Fluids.

Bei Pumpe: Übertr. von Wellenleistung auf Fl.

Bei Turbine: Übertragung von Fl. Leistung auf Welle

2.18 - Leitrad ist eine Art der Leitvorrichtung Bzw. Unterkategorie

- Die Leitvorrichtung verbindet bei Pumpen die verlustreiche kreisende Austrittsstörung

[Das Leitrad überträgt auf das Gehäuse ein den Laufradmoment entsprechendes Drehmoment.]

Bei Pumpe: Umwandlung der Geschwindigkeit Energie des Fluids in Druckenergie

Bei Turbine: Umwandlung der Druckenergie in Geschwindigkeit Energie

$$3.1 \text{ inkompressible Fl. } Y = \frac{p_d - p_s}{\rho} + \frac{v_0^2 - v_s^2}{2} + g \cdot \Delta z$$

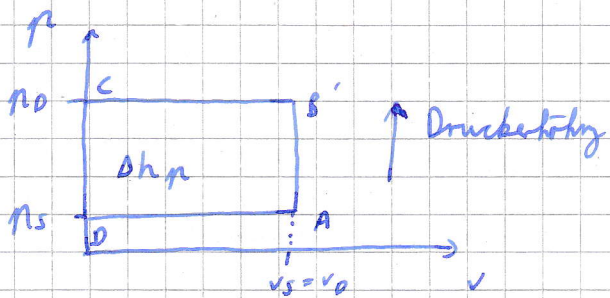
$$\text{kompressible Fl. } Y = \int_{p_s}^{p_d} \nu \cdot dp + \frac{v_0^2 - v_s^2}{2} + g \cdot \Delta z$$

Die spezifische Stützenarbeit  $Y$  bezeichnet die Energiedifferenz zwischen Druck- und Saugstutzen.  
Sie ist die auf die Masse des Förderguts bezogene Arbeit der SM.

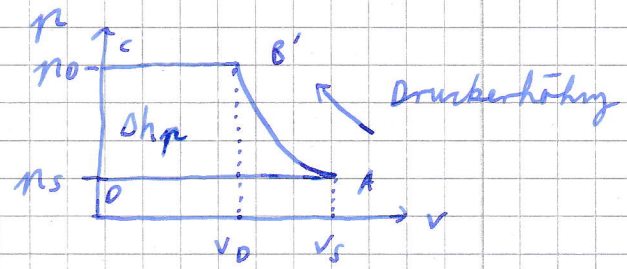
### 3.2 Enthalpedifferenz $\Delta h_p$

inkompressible Fluide:  $\Delta h_p = \frac{p_0 - p_s}{\rho}$

kompressible Fluide:  $\Delta h_p = \frac{p_0}{\rho} \int v dp$

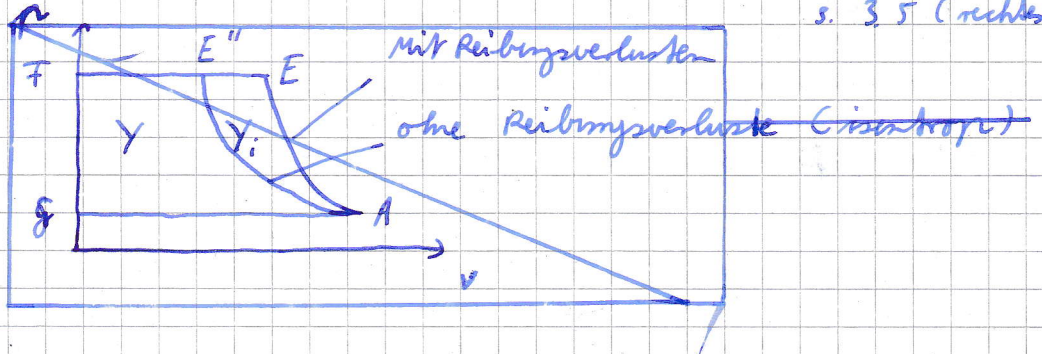


$p$ - $v$ -Diagramm für inkompressible Fl.:  $\rho = \text{const}$



$p$ - $v$ -Diagramm für kompressible Fl.:  $\rho \neq \text{const}$

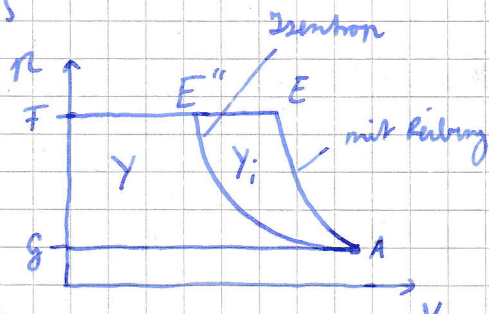
### 3.3



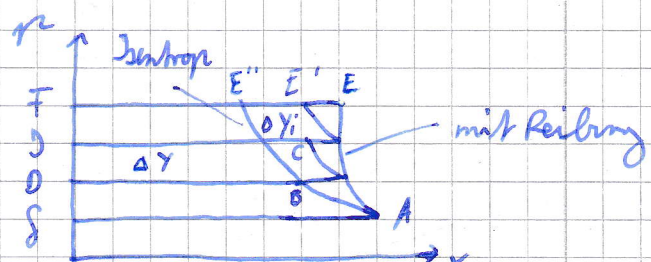
s. 3.5 (rechtes Diagramm)

3.4 Bei mehrstufigen Verdichtern kommt der Mehrarbeitswert zum Tragen.

### 3.5



$p$ - $v$ -Diagramm eines einstufigen Verdichters



$p$ - $v$ -Diagramm eines mehrstufigen Verdichters

4. 1 - Umlaufgeschwindigkeit  $\vec{v}$  = Geschwindigkeit zw. Laufrad und Umgebung

- Relativgeschwindigkeit  $\vec{w}$  = Geschw. zw. Fl. und Laufrad
- Absolutgeschwindigkeit  $\vec{v}$  = Geschw. zw. Fl. und Umgebung

$$\text{Es gilt } \vec{v} = \vec{u} + \vec{w}$$

Die Umlaufgeschw.  $\vec{v}$  - ist nicht aufzuteilen in Komponenten

- wirkt immer im Umlaufsrichtung
- entspricht Drehzinn des Laufrads

$$v = \sqrt{v_m^2 + v_u^2}$$

$$w = \sqrt{w_m^2 + w_u^2}$$

$v_m$  = Meridiankomponente der Absolutgeschw.

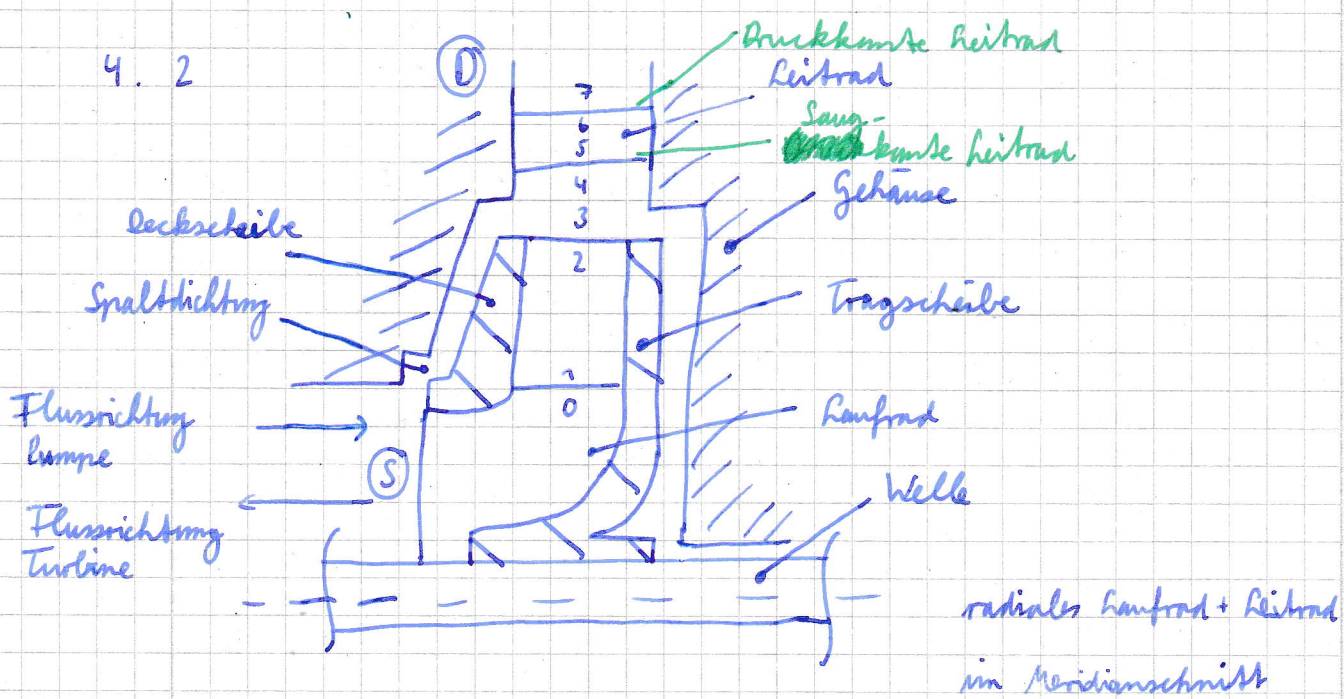
$v_u$  = Umlaufkomponente der Absolutgeschw.

$w_m$  = Meridiankomponente der Relativgeschw.

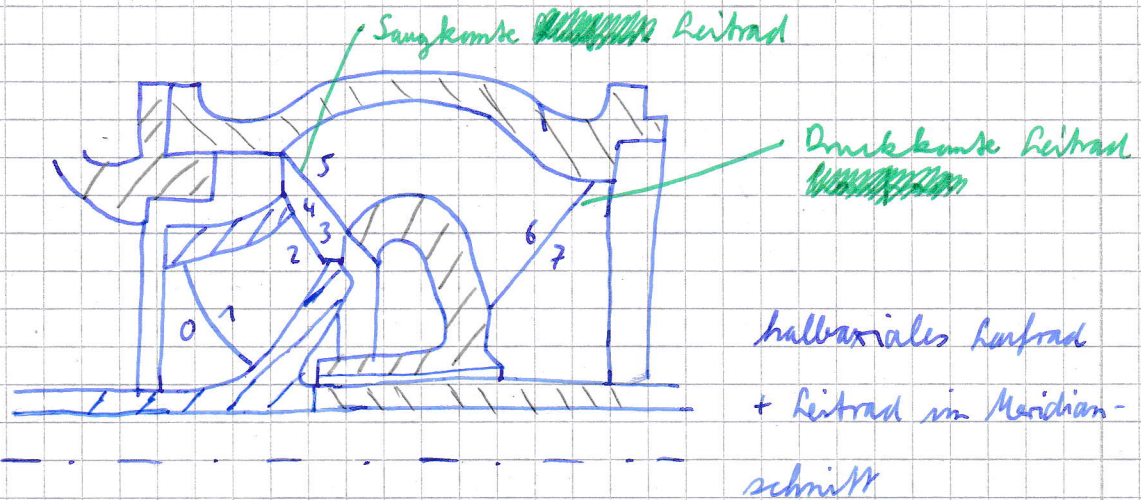
$w_u$  = Umlaufskomponente der Relativgeschw.

Die Umlaufskomponente liegt tangential zum Umlauf des Laufrads, die Meridiankomponente zeigt in radiale Richtung.

4. 2



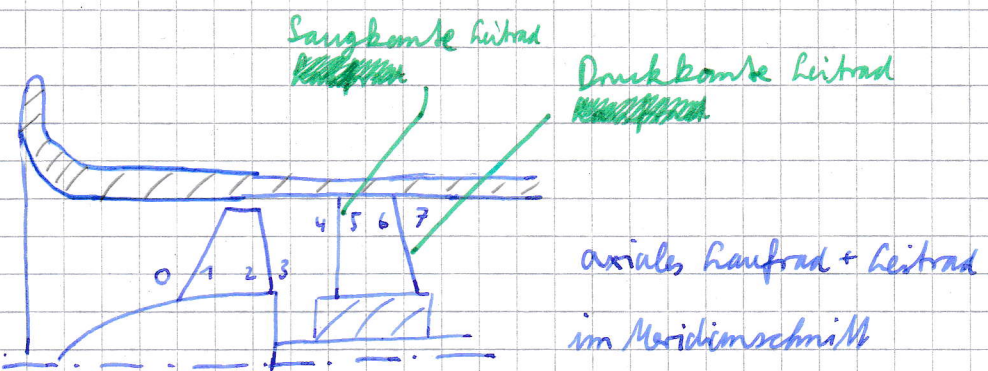
4. 3.



halbariales Laufrad

+ Leitrad im Meridian-  
schnitt

4. 4



axiales Laufrad + Leitrad  
im Meridianschnitt

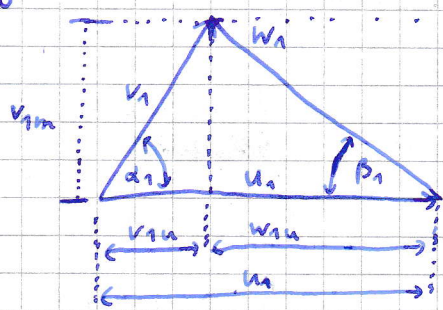
4. 5

- 0: Unmittelbar (Umm.) am der Saugkontakte (Sgk) des Laufrades (LaR) außerhalb des Schaufelkanals (Sk)
- 1: Umm. am der Sgk des LaR innerhalb des Sk
- 2: Umm. am der Druckkontakte (Dpk) des LaR innerhalb des Sk
- 3: Umm. am der Dpk des LaR außerhalb des Sk
- 4: Umm. am der Sgk des Leitrades (LeR) außerhalb des Sk
- 5: Umm. am der Sgk des LeR innerhalb des Sk
- 6: Umm. am der Druckkontakte des LeR innerhalb des Sk
- 7: Umm. am der Dpk des LeR außerhalb des Sk

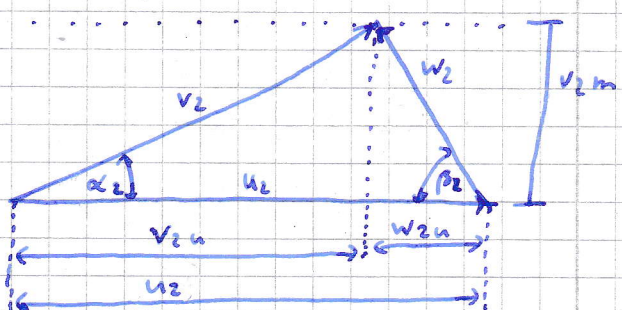
Steigende Nummer mit steigender Energiebeladung

4. 6

## Stelle 1 Sgk Eintritt



## Stelle 2 Sgk Austritt



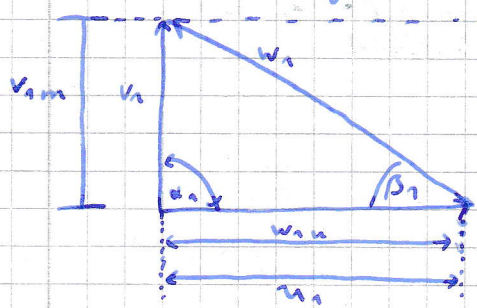
$$u_1 < u_2$$

$$v_{1m} = v_{2m}$$

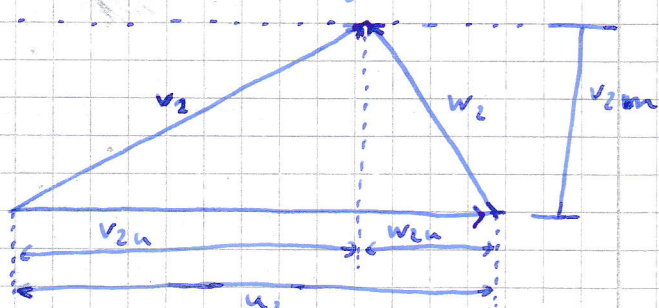
Strömungsdreiecke an Stelle 1 und Stelle 2

einer radialem Pumpen

4. 7 Stelle 1 Sgk Eintritt



Stelle 2 Sgk Austritt



$$v_{1m} = v_{2m}$$

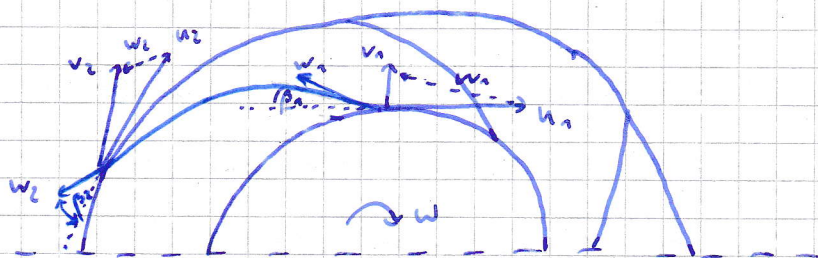
$$u_2 > u_1$$

Strömungsdreiecke an Stelle 1 und Stelle 2

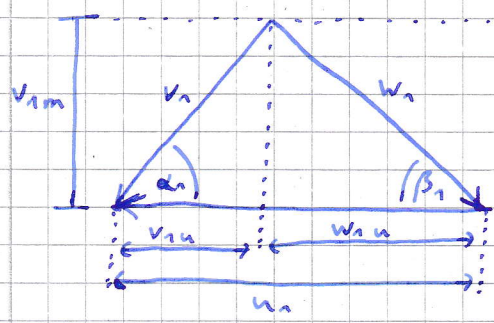
einer radialem Pumpen bei drallfreier Zustömung

4. 8

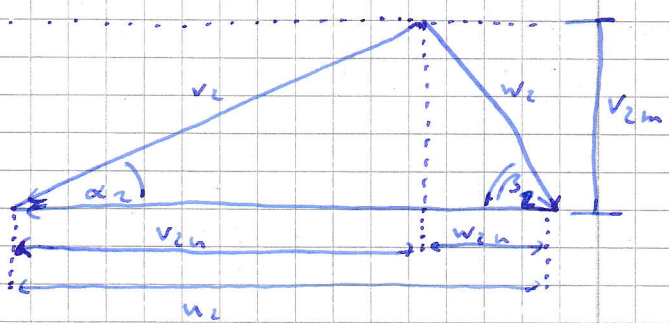
$$u_1 < u_2$$

Geschwindigkeitsdreieck für die Stellen 1 und 2 im Grundriss  
einer radialem Pumpen

4. 9 Stelle 1: Sph. Austritt



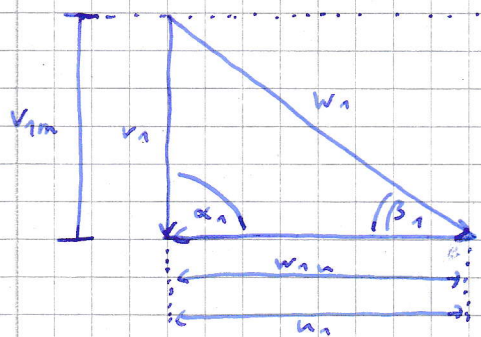
Stelle 2: Drk. Eintritt



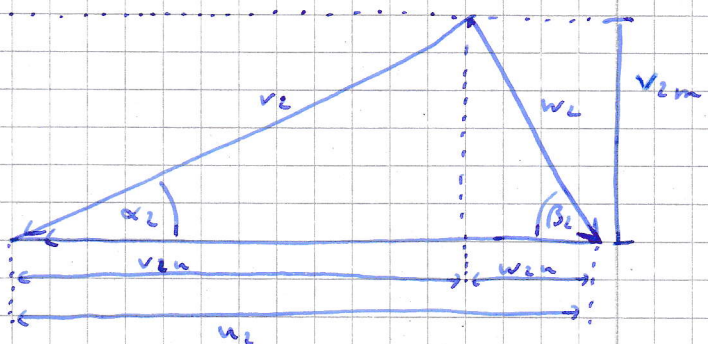
Strömungsdreieck an den Stellen 1 und 2 einer radialen Turbine  $w_2 > u_2$ ,  $v_{1m} = v_{2m}$

4. 10

Stelle 1: Sph. Austritt

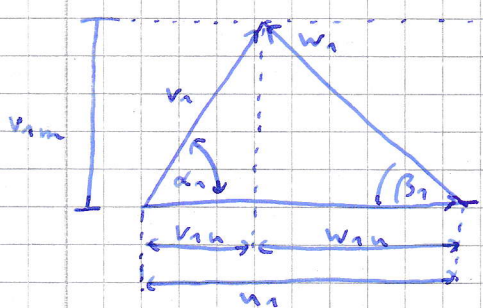


Stelle 2: Drk. Eintritt

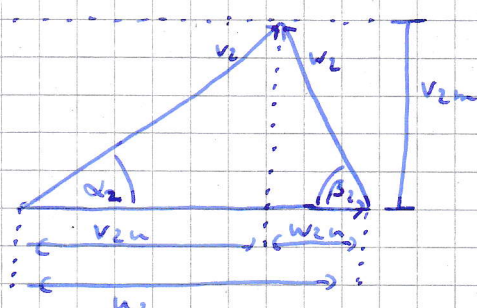


Strömungsdreieck an den Stellen 1 und 2 einer radialen Turbine bei drallfreier Abströmung  $w_2 > u_2$ ,  $v_{1m} = v_{2m}$

4. 11 Stelle 1: Sph. Eintritt



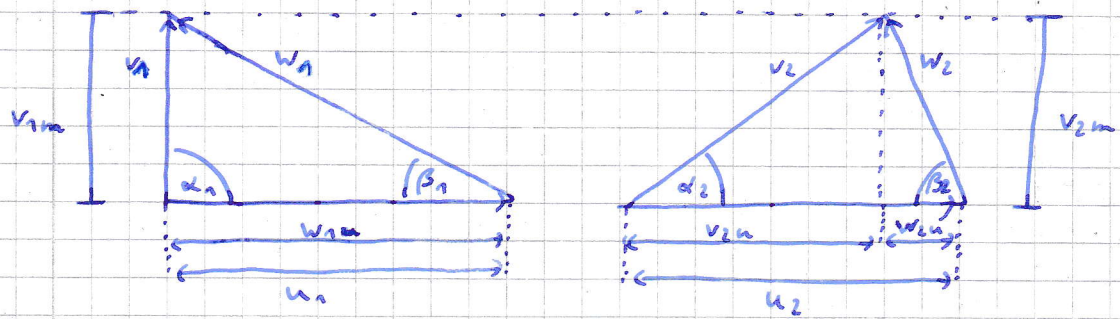
Stelle 2: Druckkontr. Austritt



Strömungsdreieck an den Stellen 1 und 2 einer axialen Komprese

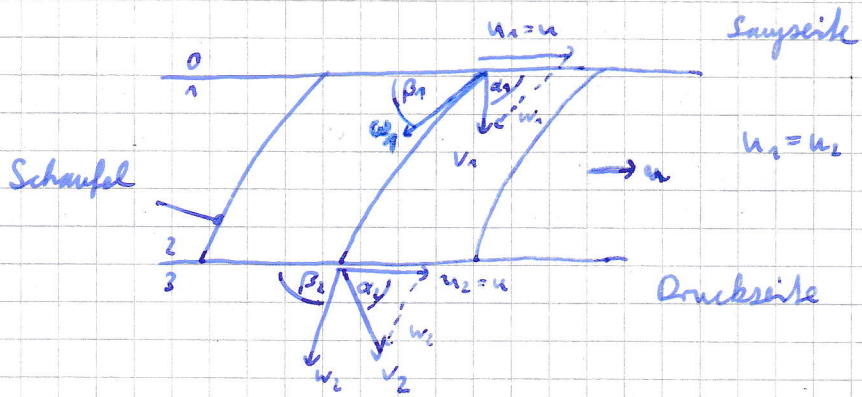
$v_{1m} = v_{2m}$ ,  $u_1 = u_2$

4. 12



Strömungsdreiecke an den Stellen 1 und 2 einer axialen Pumpe  
bei drallfreier Zustromung ,  $u_1 = u_2$  ,  $v_{1m} = v_{2m}$

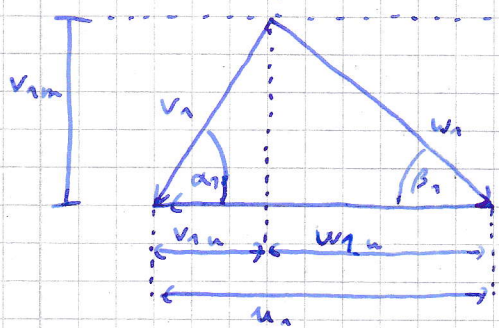
4. 13



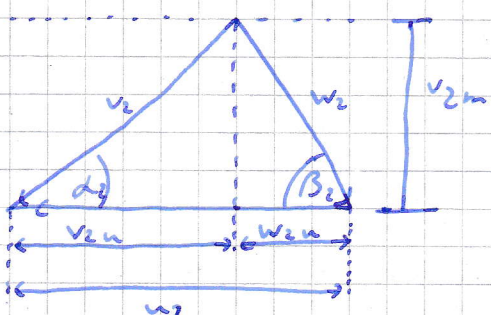
Strömungsdreiecke an den Stellen 1 und 2 einer axialen  
Pumpe im Gitterschnitt

4. 14

Stelle 1: Sgk Austritt



Stelle 2: Dok Eintritt

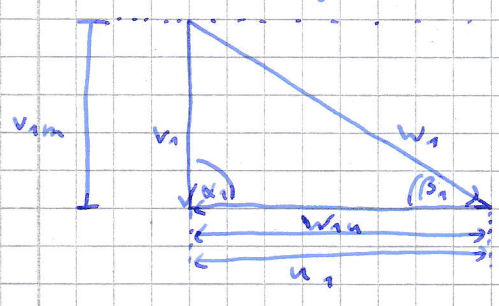


Strömungsdreiecke an den Stellen 1 und 2 einer axialen Turbine

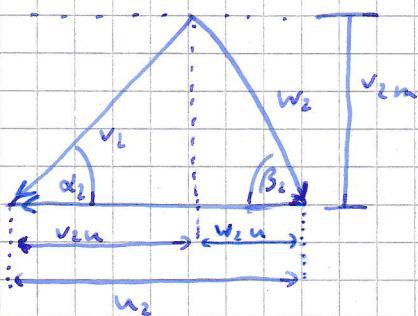
$$u_1 = u_2 , v_{1m} = v_{2m}$$

4. 15

Stelle 1: Sgk (Austritt)



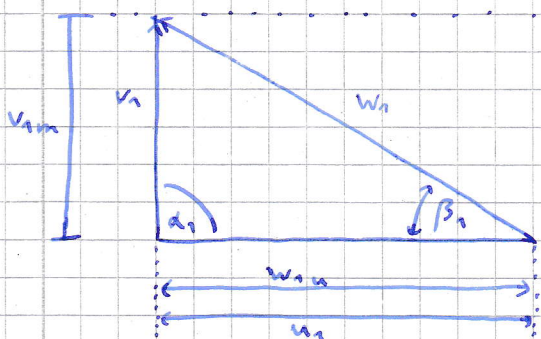
Stelle 2: Drk (Eintritt)



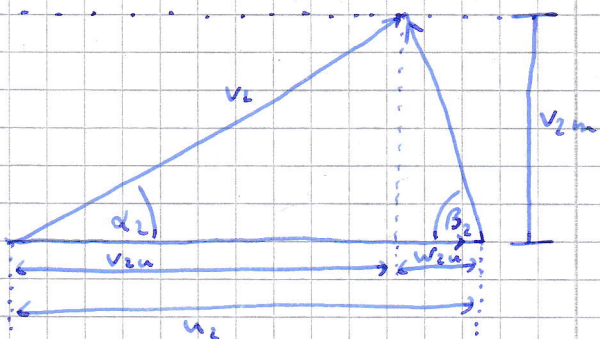
Strömungsdreieck an den Stellen 1 und 2 einer axialen Turbine  
bei drallfreier Anströmung,  $u_1 = u_2$ ,  $v_{1m} = v_{2m}$

4. 16 (identisch mit 4. 7)

Stelle 1: Sgk (Eintritt)



Stelle 2 Drk (Austritt)



Strömungsdreieck an den Stellen 1 und 2 einer halbaxialen  
Pumpe bei drallfreier Zustömung  $u_1 < u_2$ ,  $v_{1m} = v_{2m}$

4. 17 - Zentrifugalkraft ( $\hat{=}$  Fliehkrift)

- Trägheitskraft

- Corioliskraft

- Druckkraft

- Gewichtskraft

[ - Schubspannungen ]  $\leftarrow$  ist eine Spannung

$$4. 18 \quad Y_{sch} = u_2 \cdot v_{3n} - u_1 \cdot v_{0n}$$

Dient zur Bezeichnung der spez. Schaufelarbeit.

$$4. 19 \quad Y_{sch} = \frac{v_3^2 - v_0^2}{2} + \frac{u_2^2 - u_1^2}{2} + \frac{w_0^2 - w_3^2}{2}$$

Dient zur Bezeichnung der spez. Schaufelarbeit.

$$4. 20 \quad Y_{sch} = \frac{v_3^2 - v_0^2}{2} + \frac{u_2^2 - u_1^2}{2} + \frac{w_0^2 - w_3^2}{2}$$

$$\cancel{\Delta Y_{kin} = \frac{\partial p_{dyn}}{g}} \quad \cancel{\Delta Y_{tot} = \frac{\partial p_{stat}}{g}}$$

$$\Rightarrow \cancel{\Delta p_{dyn} = \frac{(v_3^2 - v_0^2)}{2} \cdot g}$$

$$\Rightarrow \cancel{\Delta p_{stat} = \left( \frac{u_2^2 - u_1^2}{2} + \frac{w_0^2 - w_3^2}{2} \right) \cdot g}$$

$$\Rightarrow v \uparrow \Rightarrow p_{dyn} ?$$

$$\Rightarrow u \uparrow \Rightarrow p_{stat} ?$$

$v \hat{=}$  Absolutgeschw.

$$\Rightarrow w \downarrow \Rightarrow p_{stat} ?$$

$u \hat{=}$  Umfangsgeschw.

$w \hat{=}$  Relativgeschwind.

4. 21 Die Euler'sche Hauptgl. gilt für alle Fluide und für alle Strommaschinen

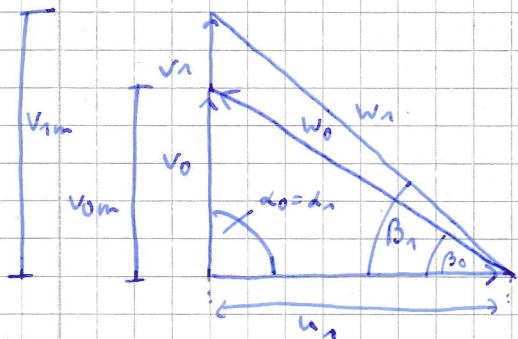
4. 22 Nein

4. 23 mehrstufige Anordnung erhöht Druck ( $\cong$  Reihenschaltung)

4. 24 mehrflutige Anordnung erhöht Volumenstrom (Parallelschaltung)

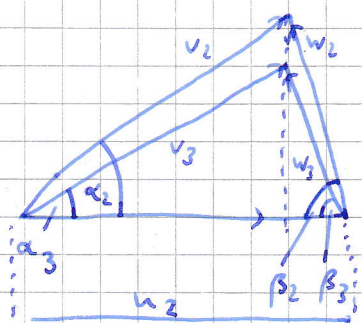
5. 1. Saugkante: Es kommt durch die Schaufelstärke zu einer Verminderung des freien Stromquerschnittes. Nach Konti folgt daraus eine Erhöhung von  $v_m$  (die Meridionkomponente der Absolutgeschwindigkeit). Daraus folgt eine Erhöhung des Winkels  $\beta$  und der Relativgeschw.

w.



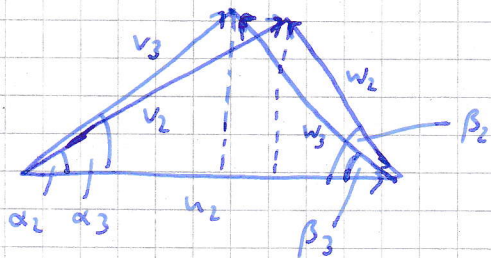
Geschwindigkeitsdreieck an der Sgk (drallfrei)  $0 \rightarrow 1$

Druckkante: analog für  $2 \rightarrow 3$ . Durch Vergrößerung des Querschnitts kommt es zu einer Verzögerung der Meridionkomponente  $v_m$  und folglich auch der Relativgeschwindigkeit  $w$ .



Geschwindigkeitsdreiecke an der Druckkante  $2 \rightarrow 3$

5. 2 Durch die endl. Anzahl der Schaufeln entsteht eine Druckdifferenz zwischen Vorder- und Rückseite der Schaufel. Dadurch wird die Str. in Richtg. Winddruck abgelenkt: dieses Phänomen nennt sich Minderumlenkung [w wird durch diese Drucksungleichsströmung abgelenkt]

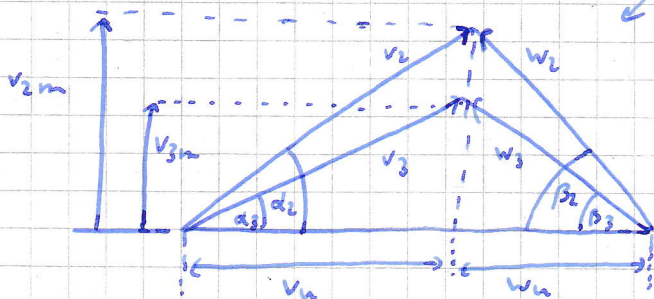


5. 3 Durch Reibung und Zähigkeit bilden sich Grenzschichten  
 → Grenzschichtablösung → Totwassergebiete → zusätzl. Kanalverengung →  $w^*$  innerhalb des Schaufelkanals

Hinter dem Schaufelgitter  $\rightarrow$  Wegfallen der Totwasser-  
 gebiete  $\rightarrow v_m \downarrow$

$$v_m = \text{konst.}$$

Minderleistung



5. 4. - Einfluss der Schaufeldicke  
 - Druckunterschied zwischen Vorder- und Hinterseite  
 der Schaufel (d.h. endl. Anzahl von Schaufeln)  
 - Einfluss von Reibung und Zähigkeit

5. 5 Turbinen - endliche Schaufelzahl  $\Rightarrow$  Minderleistung  
 - endliche Schaufeldicke  $\Rightarrow$  Minderleistung  
 - Einfluss Reibung / Zähigkeit  $\Rightarrow$  Mehrleistung

gleicht sich ungefähr aus  $\Rightarrow$  weder leistungsmindernd noch leistungsteigernd

5. 6. - kein Verlust, sondern ist eine durch das Wirkprinzip des Laufrades verursachte vermindernde Umlenkung der Stromung. Minderleistung ist daher auch im Maß für die Größe einer Strompumpe.

5. 7. Verfahren nach Eflidius berechnet das tatsächliche  $\gamma_{\text{Sch}}$ .

$$\gamma_{\text{min}} = \gamma_{\text{Sch} \infty} - \gamma_{\text{Sch}}$$

$\gamma_{\text{min}}$  = spezifische Mindestarbeit

$\gamma_{\text{Sch} \infty}$  = spez. Schaufelarbeit mit unendlich vielen, dünnen Schaufeln (Theo. Größe)

$\gamma_{\text{Sch}}$  = tatsächliche Schaufelarbeit

Eflidius' Ansatz: \*  $\boxed{\gamma_{\text{Sch} \infty} = \gamma_{\text{Sch}} \cdot (1 + \varphi_1)}$   $\varphi_1$  = Minderleistungsfaktor

$$\varphi_1 = \Psi' \cdot \frac{r_2^2}{z \cdot S}$$

$\Psi'$  = Minderleistungsfaktor (empirisch)

$r_2$  = Radius der Druckkante des Laufrades

$z$  = Schaufelzahl

$S$  = statisches Moment der mittleren Flusslinie

$$\Psi' = K \cdot \left(1 + \frac{\beta_2}{60^\circ}\right)$$

$K$  = Faktor für Bauform der Leitvorrichtung (aus Tabellen entnehmbar)

\* Er stellt die Arbeitvermindering durch die Austrittsablenkung als ein Vielfaches der theoretischen  $\gamma_{\text{Sch} \infty}$  dar.

$$S = \int_{r_0}^{r_2} r \cdot dx$$

Minderleistung wird als spez. Mindestarbeit  $\gamma_{\text{min}}$  betrachtet.

Ursache der Minderleistung sind Druckunterschied zw. Vorder- und Hintenseite der Schaufeln und Einfluss von Zähigkeit und Reibung.

5. 8 - Erhöhung der Schaufelzahl  $z \uparrow$

- Erhöhung des statischen Moments  $S \uparrow$

- Verringerung des Außenradius  $r_2 \downarrow$

} dann wird  $\varphi_1$  kleiner

$$5.9 \quad Y_{\min} = Y_{\text{sch} \infty} - Y_{\text{sch}} = Y_{\text{sch}} (n+1 - 1) = Y_{\text{sch}} \cdot n$$

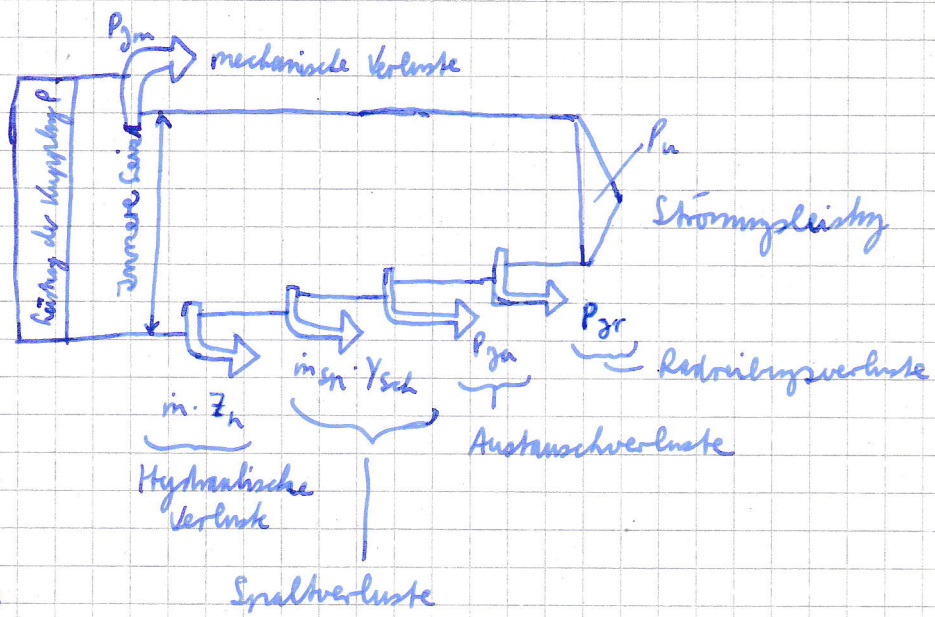
$$Y_{\text{sch} \infty} = Y_{\text{sch}} (n+1)$$

$$\text{mit } n = 4' \cdot \frac{r_e^2}{z \cdot S(r_0, r_e)}$$

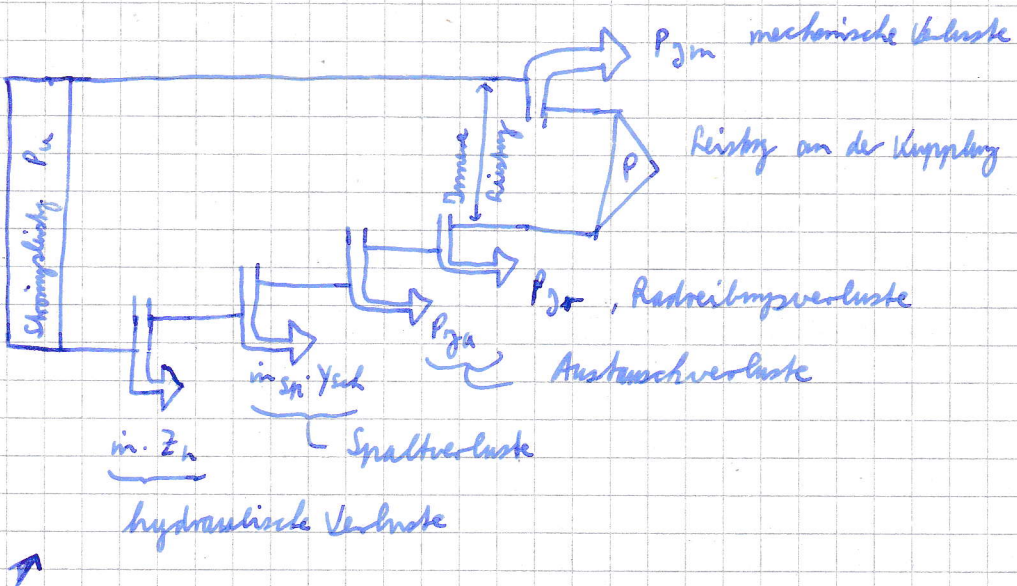
mit ~~gg~~ kleinem Eintrittsradius  $\Rightarrow r_e^2 \downarrow \Rightarrow n \downarrow \Rightarrow Y_{\min} \downarrow$

- 5.10
- Verfahren nach Stodola
  - Verfahren nach Busemann
  - Verfahren nach Stanitz

6.1



Schematische Darstellung der Verluste einer Pumpe (Sankey-Diagr.)



Schem. Darst. der Verluste einer Turbine

6. 2 - Radreibungsverluste

- Austauschverluste

- Spaltverluste

- hydraulische Verluste

6. 3 Die Leistung  $P^*$  ist die innere Leistung  $P_i$  der Stromungsmaschine mit zusätzlicher Berücksichtigung der mechanischen Verlustleistung  $P_{jm}$ .

$$P = P_i \pm P_{jm} \quad (\text{Lumpen})$$

$$P = (m + m_{sp}) \cdot Y_{sch} \pm (P_{jr} + P_{ja} + P_{jm})$$

Verlustleistungen:

$$Y_{sch} = Y \pm Z_{gh} \quad Z_{gh} \hat{=} \text{spez. hydraulische Verlustartanzahl}$$

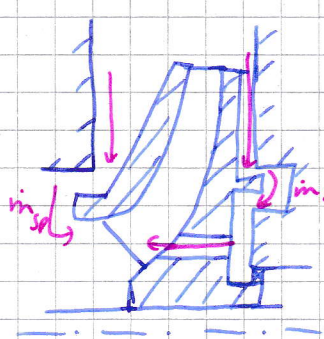
$P_{jr} \hat{=} \text{Radreibungsverluste}$

$P_{ja} \hat{=} \text{Austauschverluste}$

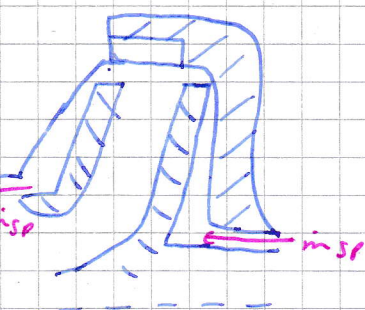
$P_{jm} \hat{=} \text{mech. Verluste}$

$m_{sp} \cdot Y_{sch} \hat{=} \text{Spaltverlust}$

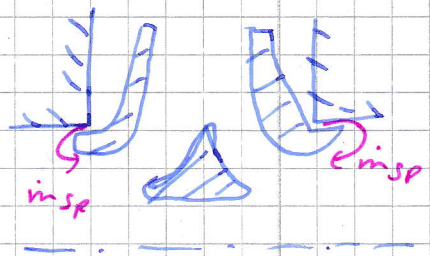
6. 4



Einstufige Pumpen



Einzelne Stufe einer mehrstufigen Pumpen



Mehrstufige Pumpen

$m_{sp} \hat{=} \text{Spaltvolumenstrom}$

$$6. \quad 5 \quad P_{gr} = K \cdot g \cdot w^3 \cdot D \cdot (D + S \cdot c) \rightarrow P_{gr} \sim D^5 :$$

Der Einfluss des Lauftrad Durchmessers auf die Radreibungsverlustleistung ist immens.

6. 6. Es entstehen Ventilationeverluste, wenn das Laufrad nicht mit dem Arbeitsmedium beaufschlagt wird und trotzdem rollt.

6. 7. → innerhalb eines Komponentenrades → Fl. Teilchen beschleunigt und umgelenkt → Erhöhung des Drucks entlang der Schaufeln.

Fl. Teilchen fließen aber vom niedrigen zum hohen Druck.

Einige Teilchen müssen reichend beschl. → fließen zurück vom hohen Druckniveau ins geringe Druckniveau → erneute Beschl.

nötig → zusätzl. Leistung

Das nennt man Anströmverlust.

$$6. \quad 8 \quad V_{sp} = A_{sp} \cdot v_{sp}$$

$$A_{sp} = \pi \cdot D_{sp} \cdot s$$

$V_{sp}$  = Volumenstrom durch Ringpalt  
 $A_{sp}$  = Fläche des Ringpaltes  
 $v_{sp}$  = Geschw. des Fl. durch den Ringpalt  
 $s$  = Spaltdicke  
 $D_{sp}$  = mittlerer Spalt Durchmesser

$\Delta p$  = Druckdifferenz am Ringpalt. Annahme: gerades  $\Delta p$

wird von Geschw. umgewandelt:  $\frac{\Delta p}{s} = \frac{v^2}{2} \Rightarrow v_{sp} = \sqrt{\frac{\Delta p \cdot 2}{s}}$

Spaltwiderstand durch Durchfluszahl  $\mu < 1$  berücksichtigt.

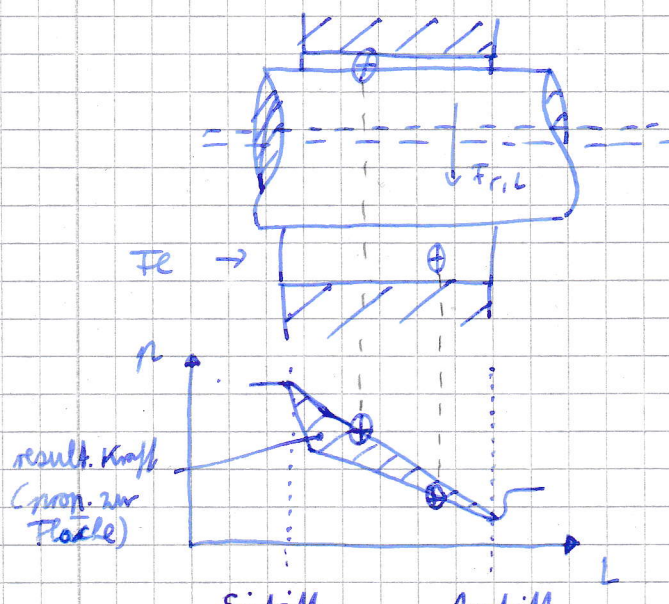
$$v_{sp} = \mu \cdot \sqrt{\frac{2 \cdot \Delta p}{s}}$$

$$\text{Damit folgt für } V_{sp}: \quad V_{sp} = \pi \cdot D_{sp} \cdot s \cdot \mu \cdot \sqrt{\frac{2 \cdot \Delta p}{s}}$$

6. 9 - Die Spaltweite reduzieren

- Anzahl Spaltendichtungen erhöhen

## 6. 10 Der Kornakim - Effekt ist im wellenentstreuender Effekt in Spaltlängen



$$F_{r,L} \hat{=} \text{Frandial, Kornakim}$$

(vor allem in kurzen Spalten)

Durch die Exzentrizität, also die Auslenkung einer Welle, verändern sich die Spaltmaße und in Folge dessen die Spaltwiderstände.

Beim kleinen Spalt  $\rightarrow$  höherer Widerstand  $\rightarrow$  geringe Durchströmungsgeschwindigkeit. Beim großen Spalt  $\rightarrow$  geringer Widerstand

$\rightarrow$  höhere Durchströmungsgeschwindigkeit.

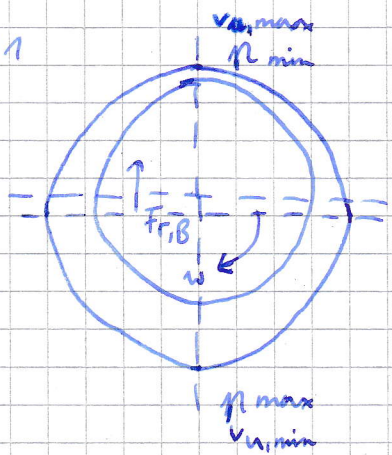
Eintrittsdruckverluste höher je höher die Eintrittsgeschw.

$\rightarrow$  großer Druckverlust auf der Seite mit großem Spalt.

$\rightarrow$  kleiner Druckverlust auf der Seite mit kleinem Spalt

Druckdifferenz wirkt als rückstellende Kraft  $F_{r,L}$ .

## 6. 11



$$F_{r,B} = \text{Frandial, Bernoulli}$$

(vor allem in langen Spaltlängen)

Durch die Exzentrizität der Welle ist der Spalt auf der einen Seite größer als auf der anderen. Durch Bernoulli-Konti ist die Umfangsgeschw.  $v_n$  im Ringspalt beim kleinen Spalt größer.

Nach d. Bernoulli - gl. ist der Druck dort aber kleiner.

D.h. die Druckdifferenz hat eine dezentrierende Wirkung und wirkt dem Kornakim - Effekt genau entgegen.

6. 13 Der hydraulische Wirkungsgrad  $\eta_h$  berücksichtigt die durch Reibung des Fluids an den Wänden der Schaufelkanäle entstehende Verluste.

$$\eta_h = \frac{y}{y_{sch}} \leftarrow \text{Pumpe}$$

6. 14 Der hydraulische Wirk...

$$\eta_h = \frac{y_{sch}}{y} \leftarrow \text{Turbine}$$

6. 15  $\eta_{lh} = \frac{P_h}{P}$

6. 16  $\eta_{ch} = \frac{P}{P_h}$

6. 17 Wirkungsgradanfertungen sind beim Übergang von kleineren auf größere SM ratsam.

Das liegt daran, dass die Spaltverlust bei kleineren SM prozentual größer sind,

, was sich durch einen geringeren Wirkungsgrad bemerkbar macht.

6. 18 - Aufweitung nach Pfeiderer:

$$\frac{1 - \eta_{i,2}}{1 - \eta_{i,1}} \approx \left( \frac{Re_1}{Re_2} \right)^{0.1}$$

- Aufweitung nach Ackeret:

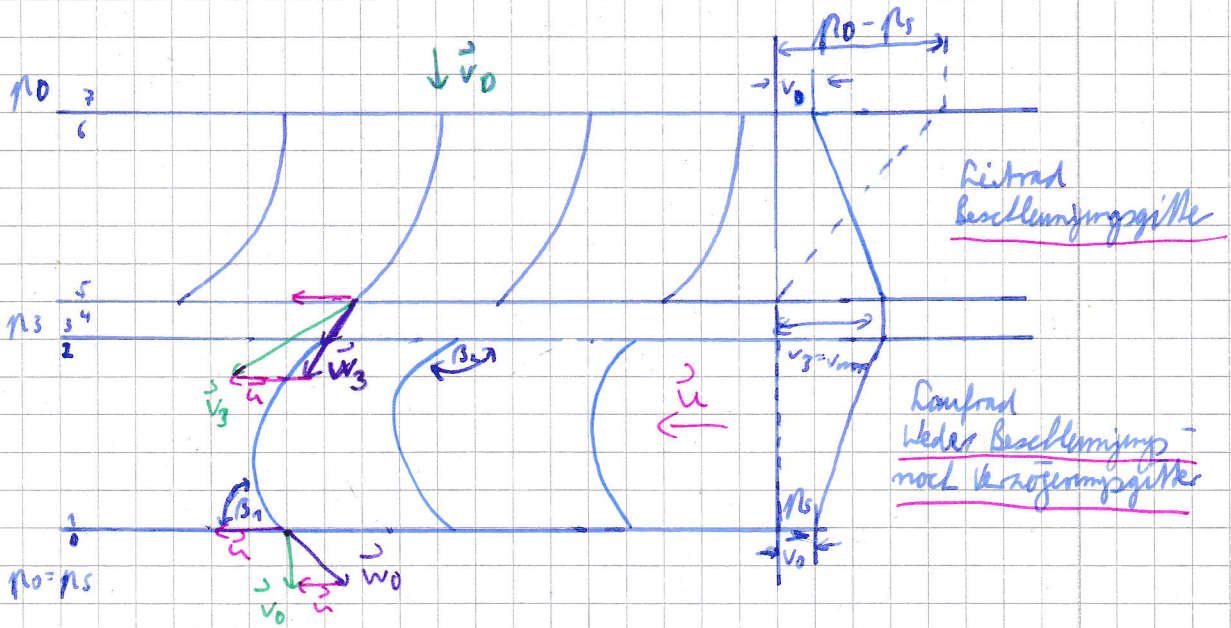
$$\frac{1 - \eta_{i,2}}{1 - \eta_{i,1}} \approx \frac{1}{2} \left( 1 + \frac{Re_1}{Re_2} \right)^{0.2}$$

## FSD Fragmentatalog

7. 1 Die spezifische Spaltdruckarbeit  $\gamma_{sp}$  berechnet die spezifische Arbeitsfähigkeit der Druckdifferenz am Spalt zwischen Laufrad und Gehäuse  $n_3 - n_0$ :

$$\gamma_{sp} = \frac{n_3 - n_0}{g}$$

7. 2

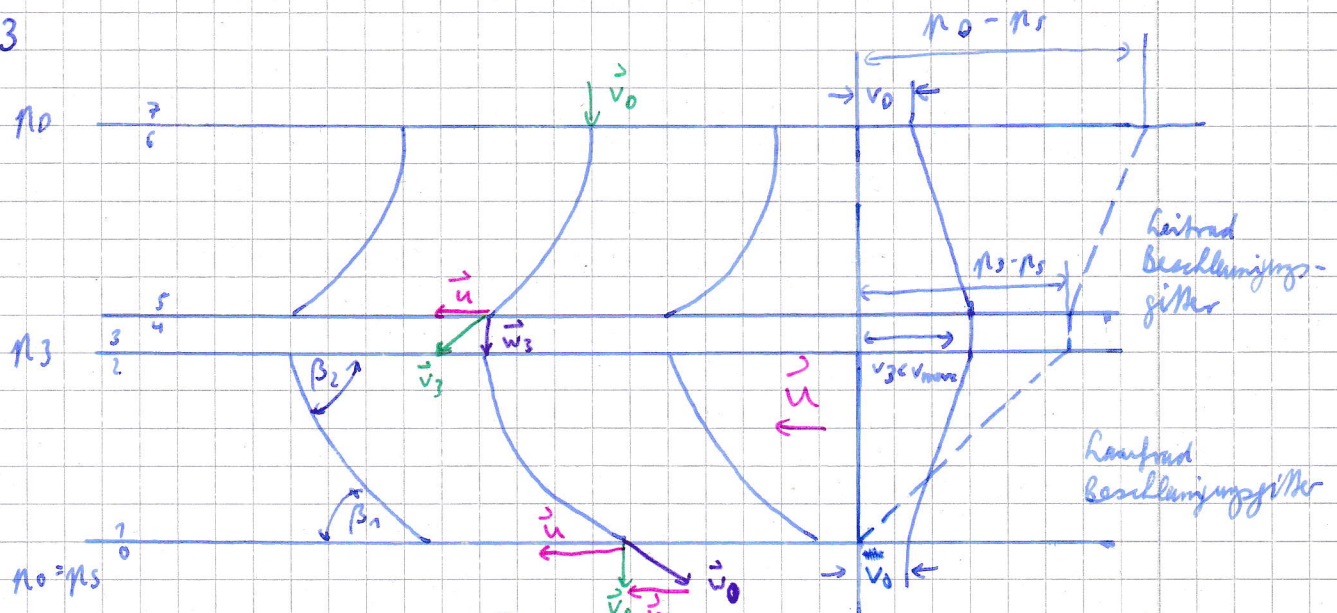


Geschwindigkeits- und Druckverläufe am Leitrad und Laufrad im Fitterschnitt einer Gleichdruckwolne

$$(\ )_s = \text{Saugseite}$$

$$(\ )_0 = \text{Druckseite}$$

7. 3

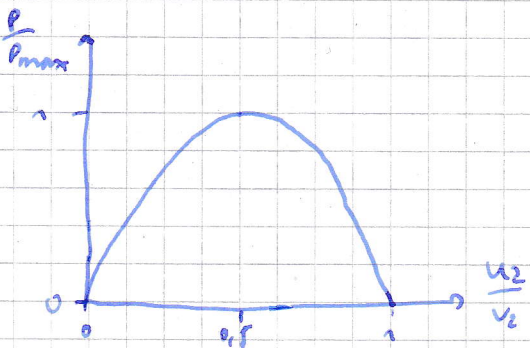


Wie 7.2 - "eine Überdruckkurve"

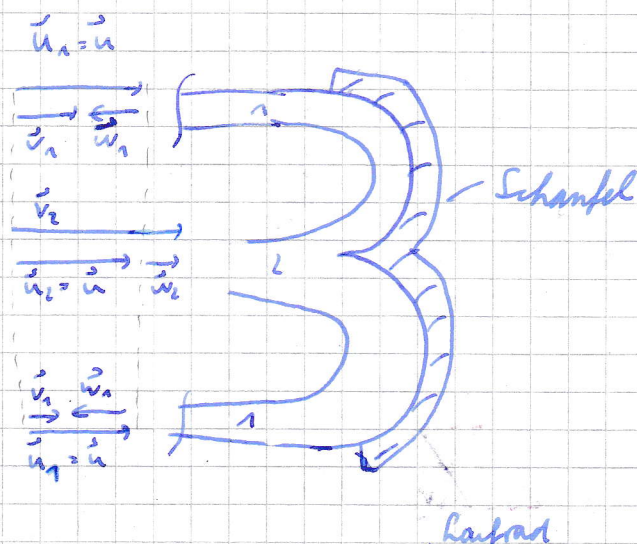
7. 4. - Pelton - Turbine
- Durchströmmturbine

$$7.6. \quad M_2, \text{opt} = \frac{v_2}{2}$$

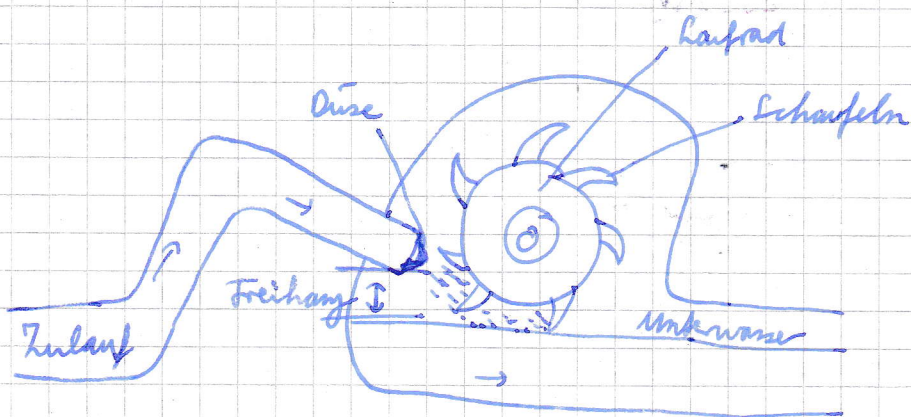
7. 5. - Kaplan - Turbine
- Francis - Turbine



7. 7



7. 8



7. 9
- Düse mit veränderlichem Querschnitt
  - Fall-Safe - Bremsen
  - Strahlablecker
  - ~~bremsen~~ elektrische Bremsen
  - Alpenorgon

7. 10
- Der Druckstoß entsteht bei schnell schließendem Alpenorgon
  - Düse muss langsam bewegen
  - Ventilschluss „dämpft“ Druckstoß

7. 11 Gleichdruckmaschine

7. 12 - Pelton - Turbine

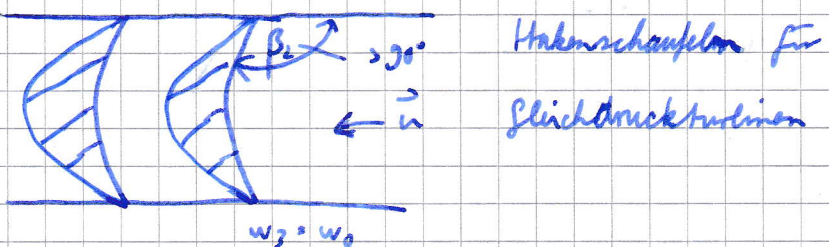
- Francis - Turbine

- Kaplan - Turbine

7. 13 Gleichdruckturline:  $y_{cn} = 0 \frac{d}{dy}$

Überdruckturbine:  $y_{cn} > 0 \frac{d}{dy}$

7. 14



Hakenschaukel für  
Gleichdruckturbinen

7. 15 Partielle Beaufschlagung beschreibt den Zustand, wenn nicht alle Schaufeln durchströmt werden, sondern nur einige und deshalb auch nur wenige Schaufeln Leistung generieren.

- Pelton - Turbine

8. 1 - Der Reaktionsgrad  $r$  kennzeichnet die Stärke des Überdruckes (d.h. der Reaktion im Laufrad) und gibt Aufschluss über die Anstrengung der Erhöhung der Energierersetzung auf Laufrad und Leitrad.

- dimensionslose Größe
- $r = \frac{Y_{sp}}{Y}$  mit  $0 \leq r \leq 1$
- Gleichdruckturbine  $r = 0$
- Überdruckturbine  $0 < r < 1$

8. 2 - Die Liefenzahl entspricht der dimensionslosen Darstellung des Volumenstroms  $v$ .

$$g = \frac{v_g}{u_2}$$

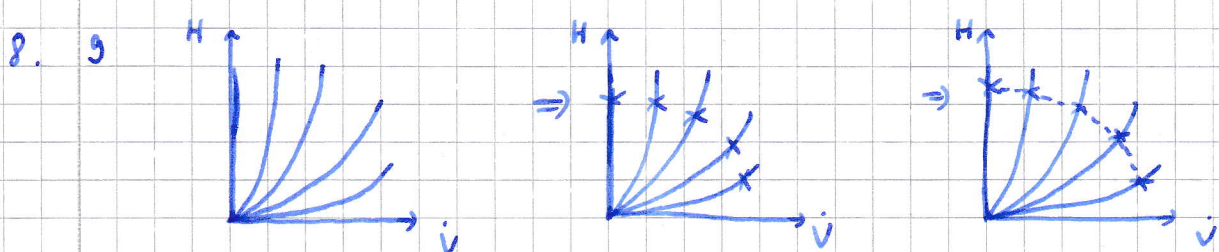
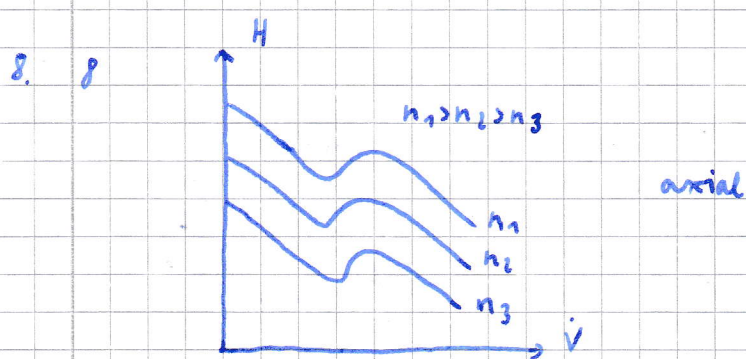
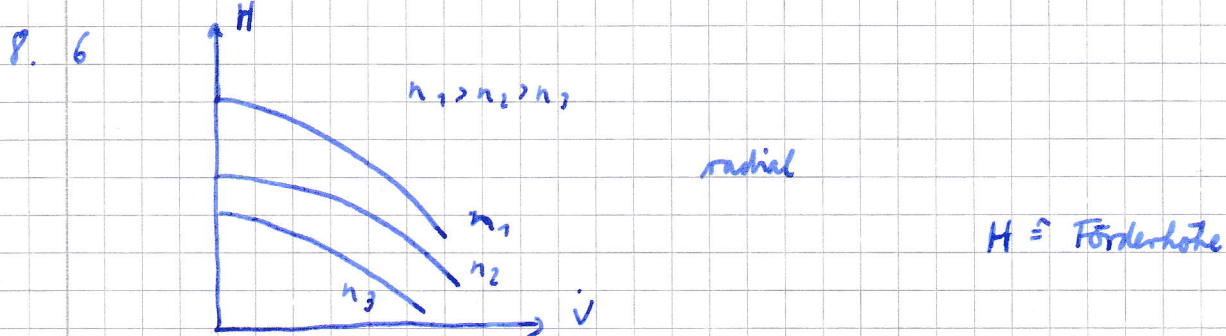
8. 3 - Die Druckzahl entspricht der dimensionslosen Darstellung der spez. Schalenarbeit  $\gamma$ .

$$\gamma = \frac{Y}{\frac{u_2^2}{2}}$$

8. 4 Ja, die Druckzahl ist eine Sintenzahl für Turbinen: da bei einem Abströmwinkel von  $\alpha_2 = 90^\circ$  ist der hydraulische Wirkungsgrad  $\eta_h$  hoch. Dadurch erreicht die spez. Schalenarbeit  $\gamma$  ihren Maximalwert. Bei einem Abströmwinkel  $\alpha_2 > 90^\circ$  verringert sich der hydraulische Wirkungsgrad  $\eta_h$ .  $\rightarrow$  Druckzahl = Sintenzahl

8. 5 - Nun, die Druckzahl ist keine Güterzahl für Pumpen, da die spezifische Schubarbeit von Maschinen erzeugt wird.

Die Druckzahl stellt jedoch ein Maß für die Schaufelbelastung dar (hoher  $\gamma \Rightarrow$  hohe Schaufelbelastung)



→ Ermittlung der Drosselkurve durch Veränderung der Anlagenkennlinie

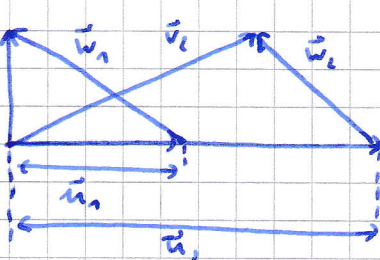
→ Widerstandskurve erläutern

13

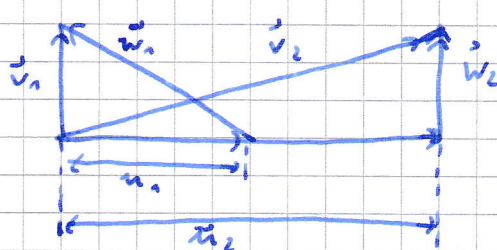
8. 10 Durch Druckzahl  $\psi$  und Lieferzahl  $g$  können Kennlinien aus verschiedenen

Drehzahlen in eine einzige dimensionslose Kennlinie überführt werden.  
 Erstellung: Funktion  $\psi(g)$  im Diagramm eintragen  
 Abweichungen kommen von Indizes zum für Betriebsstörungen  
 Kavitation oder Spaltveränderung.

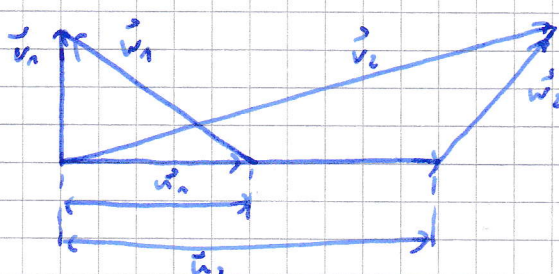
9. 1  $\beta_2 < 90^\circ$



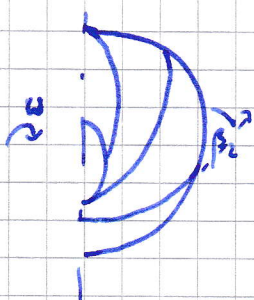
$\beta_2 = 90^\circ$



$\beta_2 > 90^\circ$

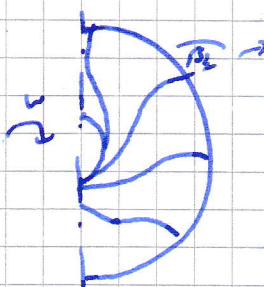


9. 2



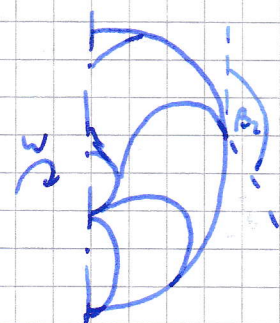
$\beta_2 < 90^\circ$

rückwärts gekrümt



$\beta_2 = 90^\circ$

radial endend



$\beta_2 > 90^\circ$

vorwärts gekrümt

9. 3  $\beta_2 < 90^\circ$

Kaplan-Turbine

$\beta_2 = 90^\circ$

Francis-Turbine

$\beta_2 > 90^\circ$

Lilienthal-Turbine

9. 4 Bei den rückwärts gekrümmten Schaufeln ist der höchste Wirkungsgrad

9. 5 Bei vorwärts gekrümmten Schaufeln ist die Schaufelarbeit am höchsten.

9. 6 Kreiselpumpen (Stromross)  $n_{z,\max} = (30 \dots 50) \frac{1}{\text{min}}$

Dampf-Luftstrahlpumpen (Sonderchromstahl)  $n_{z,\max} = (300 \dots 500) \frac{1}{\text{min}}$

10. 1 mit der dimensionlosen Radformkonstante

$$n \cdot \frac{\sqrt{V}}{Y^{3/4}} = \text{konst.}$$

$$10. 2 n_g = n \cdot \frac{\sqrt{V}}{H^{3/4}} \quad [n_g] = \frac{1}{\text{min}} \quad [H] = \text{m}$$

↑  
spez. Drehzahl

$$[n] = \frac{1}{\text{min}} \quad [V] = \frac{\text{m}^3}{\text{s}}$$

$n_g$  entspricht der Drehzahl eines dem Original-Laufrad geom. ähnlichen Modell-Laufrades mit  $H_g = 1 \text{ m}$  und  $V_g = 1 \frac{\text{m}^3}{\text{s}}$

10. 3 Der spez. Durchmesser entspricht dem Laufraddurchmesser eines dem Original-Laufrad geom. ähnlichen Laufrades der Modell-Vergleichsmaschine mit einer Förderhöhe  $H_g = 1 \text{ m}$  und dem Volumenstrom  $V_g = 1 \frac{\text{m}^3}{\text{s}}$ .

$$D_{2g} = D_2 \cdot \frac{H^{3/4}}{V^{1/2}} \quad [D_{2g}] = \text{m}$$

$$10. 4 V_g = 1 \frac{\text{m}^3}{\text{s}}$$

$$H_g = 1 \text{ m}$$

$$10. 5 - Langsamläufer \quad n_g = (10 \dots 30) \frac{1}{\text{min}}$$

$$- Mittelläufer \quad n_g = (30 \dots 60) \frac{1}{\text{min}}$$

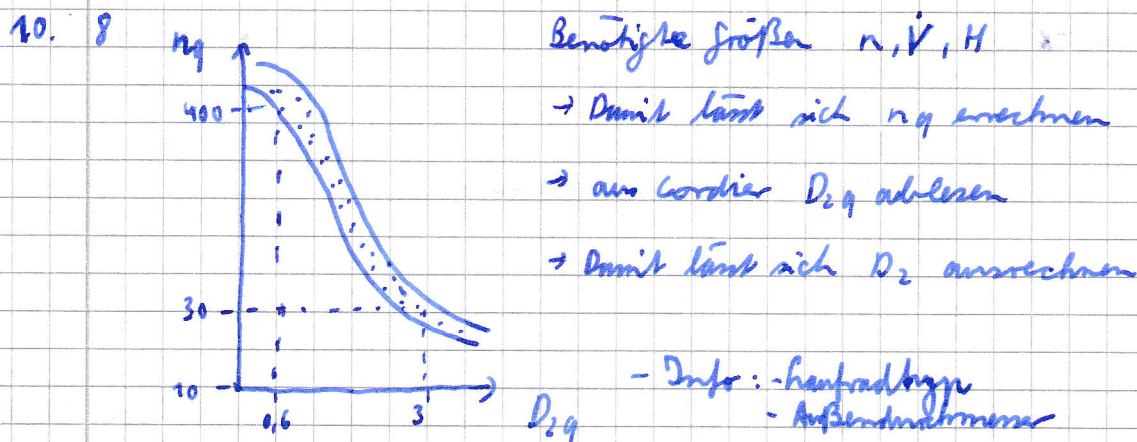
$$- Schnellläufer \quad n_g = (50 \dots 150) \frac{1}{\text{min}}$$

$$- Schnellschnellläufer \quad n_g = (90 \dots 500) \frac{1}{\text{min}}$$

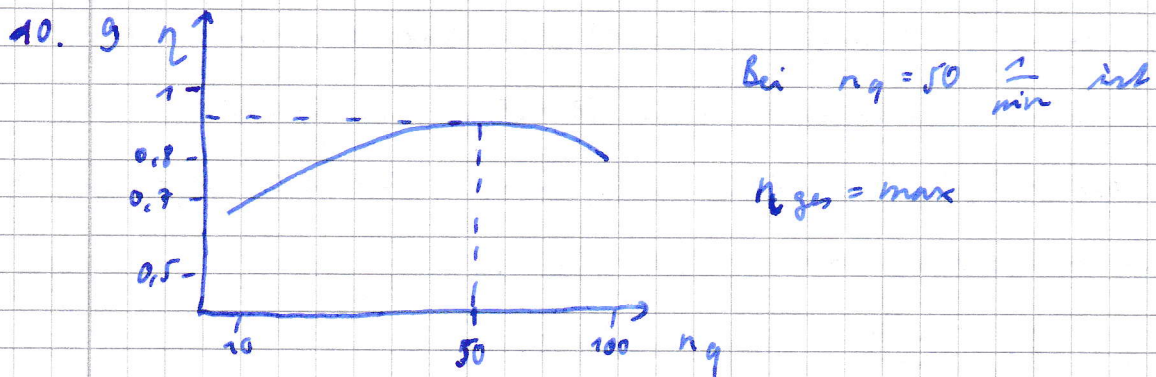
10. 6 Aufbindendurchmesser  $\downarrow \rightarrow$  Fläche  $\downarrow \rightarrow$  ~~Saugkante wird in den Saugmund vorgezogen~~  $\rightarrow$  Druckkomplettion ~~aktiver Stellen~~

- Änderung der Form des Anfades in Richtung Hallaxial und dann in Richtung axial

10. 7 s. 10. 5



Cordier-Diagramm



10. 10 Radreibungsverluste

10. 11 hyd. Verluste von Hanftrad und Saugstutzen

11. 1 - Unterbinden der verlustreichen, kreisenden Austrittsströmung

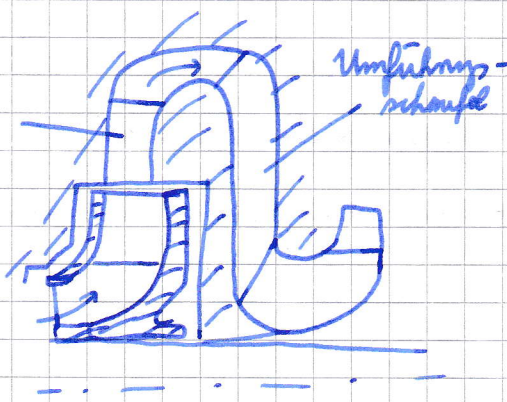
- Umwandlung der Drallkomponente der Austrittsströmung in zusätzliche Druckenergie
- Erzeugung einer drallfreien Zustömung zur nächsten Stufe bei mehrstufigen Kumpen
- konstruktive Umsetzung meist aus Diffusoren

11. 2 - Erzeugung einer Drallkomponente in der Zustömung zum Laufrad

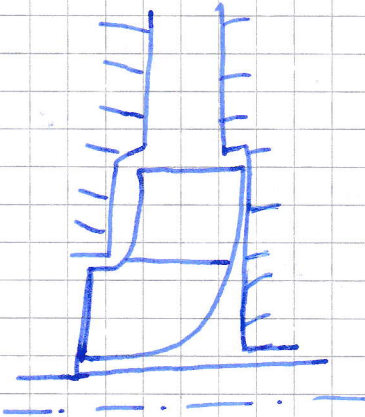
- Umwandlung der Druckenergie in zusätzliche Geschwindigkeitsenergie
- Wirkung als Regel- und Absperrorgan
- konstruktive Umsetzung meist aus Düsen

11. 3

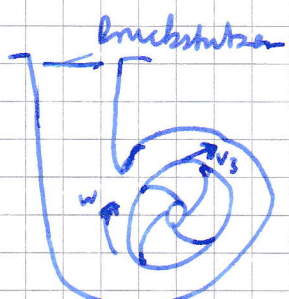
Leitrad



Bewegliches Leitrad



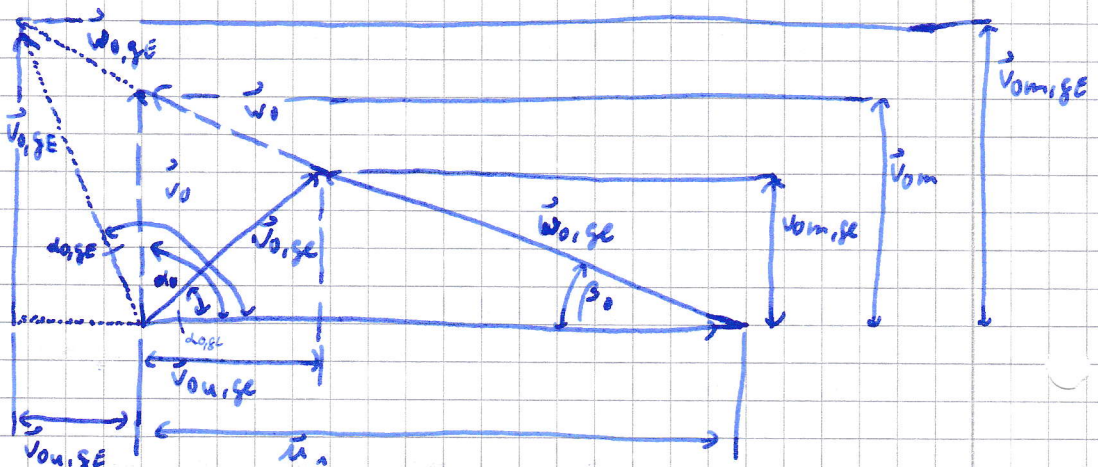
Schaufelloser Ringzylinder



Spiralgehäuse

- 11.4
- Windturbulzen
  - Schiffsspropeller
  - weil zu hoher Anwand  $\rightarrow$  wirtschaftl. unrentabel

11.5



— Gleichdrall — Vierdrall ..... Segendrall

11.6 Die Aufgabe des Saugrohres ist es, die Geachw. des Wasserstroms aus dem Laufradaustritt auf dem Weg zwischen Turbulenzaustritt und Unterwasser im Druck umzusetzen. Die im Saugrohr des Laufrads vorhandene Geschwindigkeitsenergie wird so weit wie möglich im Druck umgesetzt.  $\rightarrow$  Druckabsonderung hinter dem Laufrad  $\rightarrow$  Vergrößerung der an der Beschleunigung wirkenden Druckdifferenz

inkom

$$12. \quad 1 \quad \vec{F}_{Ax} = \vec{F}_I + \vec{F}_{II} + \vec{F}_g + \vec{F}_g + \vec{F}_A + \vec{F}_W + \vec{F}_{mech}$$

$\vec{F}_I$  = Druckkraft auf die Tragscheibe im Radseitenraum I

$\vec{F}_{II}$  = Druckkraft auf die Deckscheibe im Radseitenraum II

$\vec{F}_g$  = Impulskraft aus der Winkelbewegung des Fluids

$\vec{F}_g$  = Gewichtskraft bei vertikal aufgestellte Strömungsmaschine

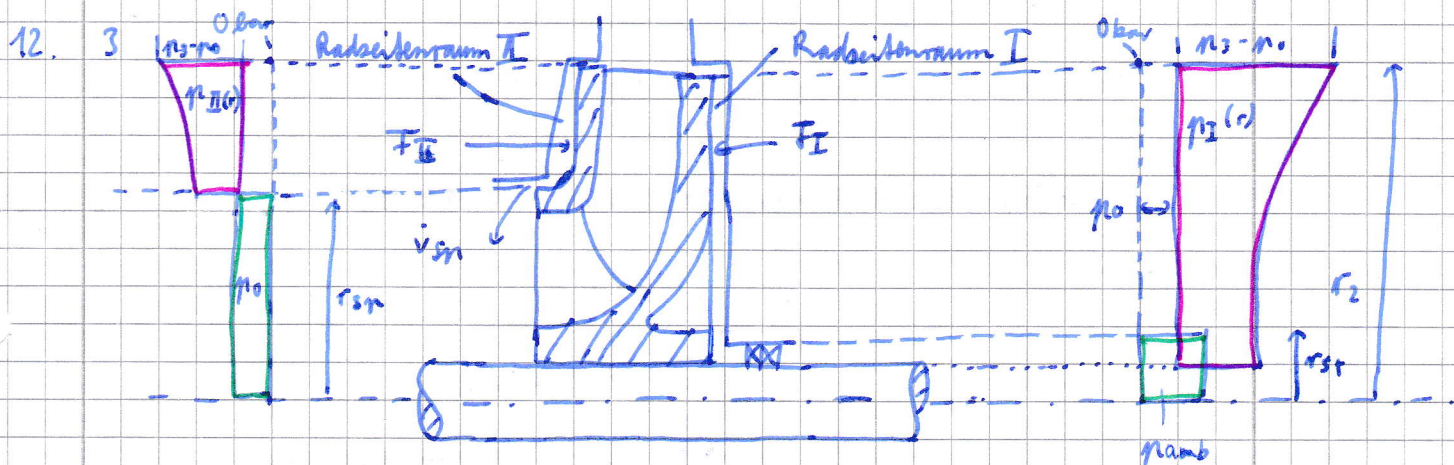
$F_w$  = Wellenschub aufgrund der Druckdifferenz vor und hinter der Wellendichtung

$\vec{F}_A$  = Antriebskraft im Wasser laufender Bauteile

$F_{mech}$  = Mechanische Kräfte im Antriebstrang (z.B. aus Wellenkupplung)

$\vec{F}_{Ax}$  = Resultierende Axialkraft

12. 2 s. 12.1 (nur ohne  $\vec{F}_g$  und  $\vec{F}_A$ )

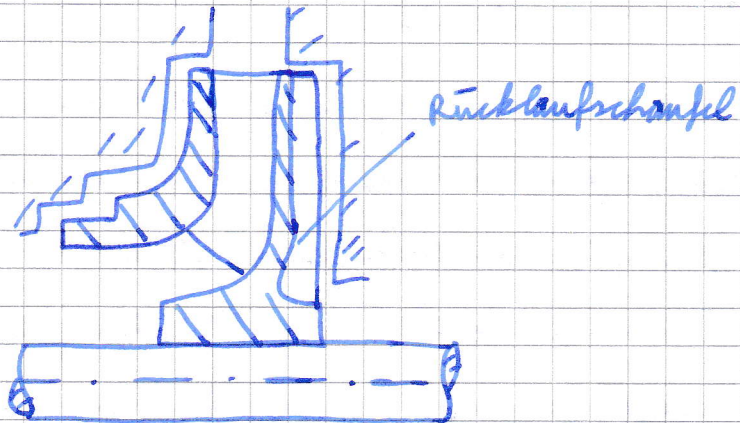


12. 4 Spaltvergrößerung  $\rightarrow \omega_{x,II} \uparrow \rightarrow \vec{F}_{II} \downarrow \rightarrow \vec{F}_{Ax} \uparrow$

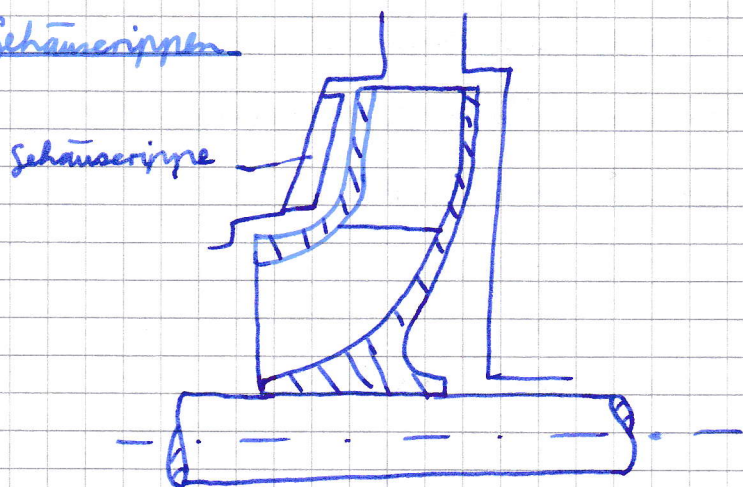
Rotationsgeschwindigkeit des II-Körpers

12. 5  $F_{Ax}$  ist oft zu groß, als dass er mit Axiallagern aufgenommen werden kann. Deshalb konstruktive Gegenmaßnahmen, die eine hydrodynamische Symmetrie erzeugen.

12. 6 - Rückenschanfeln  $\rightarrow w_{FeI} \uparrow \rightarrow F_I \downarrow \rightarrow F_{ax} \downarrow$

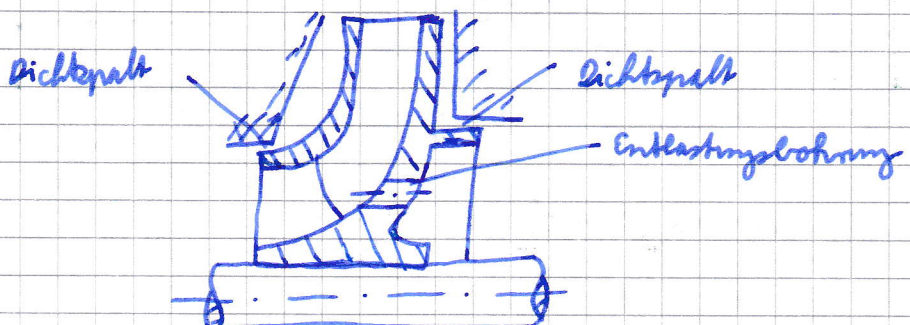


- Schämerippen



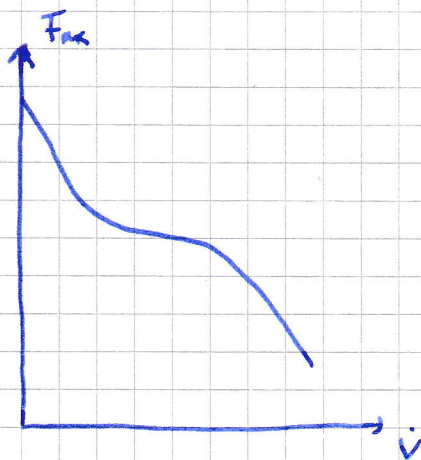
Schämerippe  $\rightarrow w_{Fe,II} \downarrow \rightarrow F_{II} \uparrow \rightarrow F_{ax} \downarrow$

- Druckangleichbohrung und zweiter Dichtspalt



Druckangleichbohrung + zweiter Dichtspalt  $\rightarrow$  Druckangleich zwischen l. & r. Laufradhälfte  $\rightarrow F_I \approx F_L \rightarrow F_{ax} \downarrow$

12. 7



12. 8

- ungleichmäßige Strömung in der Leitvorrichtung
- Unregelmäßigkeiten in der Radseitenraumströmung
- exzentrischer Lauf des Laufrades in den Dichtspalten durch Wellenbildung

12. 9

$$\frac{v}{v_{\text{out}}} = 0 \rightarrow v_{\text{out}} \gg v$$

13. 1 Kavitation beschreibt das Auftreten und anschließende Zusammenfallen von Dampfblasen in Flüssigkeiten.

13. 2 Die Dampfblasen entstehen, wenn der statische Druck lokal auf bzw. unter dem Dampfdruck zu der Flüssigkeit fällt. Erhöht sich der stat. Druckstromwärts wieder auf ein Niveau oberhalb des Dampfdruckes  $p_c$ , so beginnen die Dampfblasen zu implodieren, wodurch Microjets entstehen, die hohe Geschw. haben und Schaden anrichten können.

13. 3 - Einfüllkante des Laufrades  
- Einfüllkante des Leitrades  
- Spalte

13. 4 - Förderhöhenabfall  
- Wirkungsgradabfall  
- Flämmbelastigung

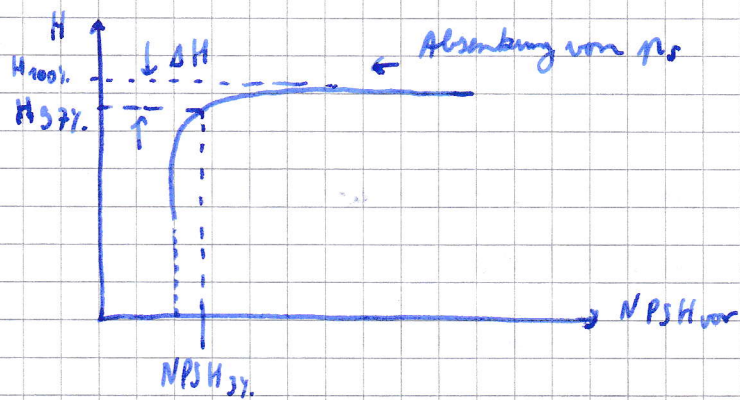
13. 5 Der NPSH<sub>vorh</sub>-Wert beschreibt die von der Anlage durch kantliche Gegebenheiten am Saugmund der ersten Stufe einer Pumpe bzw. der letzten Stufe einer Turbine bereitgestellte, zum jeweiligen Betriebspunkt gehörende, Netto-Energiehöhe.

13. 6 Der NPSH<sub>erf</sub>-Wert beschreibt die von der Stromsparschne am Saugmund der ersten Stufe einer Pumpe bzw. letzten Stufe einer Turbine benötigte und vom Betriebspunkt abhängige Netto-Energiehöhe, um „Kavitationsfreies“ Betrieb im Abhängigkeit des gewählten Kavitationskriteriums zu gewährleisten.

13. 7  $NPSH_{vorh} \geq NPSH_{erf}$

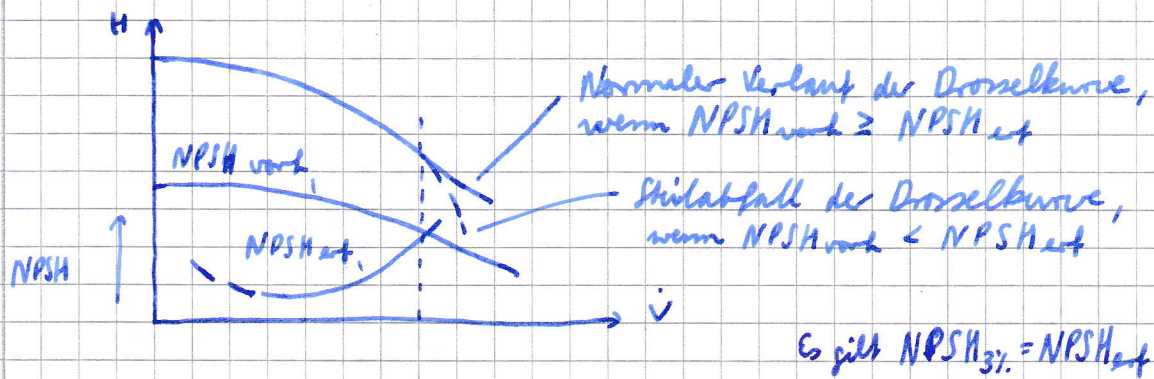
13. 8 Netto-Energiehöhe, bei der sich ein Förderhöhenabfall aufgrund von Kavitation von 3% gegenüber dem kavitationsfreien Betrieb stellt - einstellt.  
- Ermittlung rechnerisch und exaq experimentell (messen)

13. 9



- $V = \text{konst}$
- $n = \text{konst}$
- $n_s$  bzw.  $p_s$  variiert

13. 10



13. 11 - Def. Maß am Wirkungsgradabfall

- Errichten einer def. Blasengröße

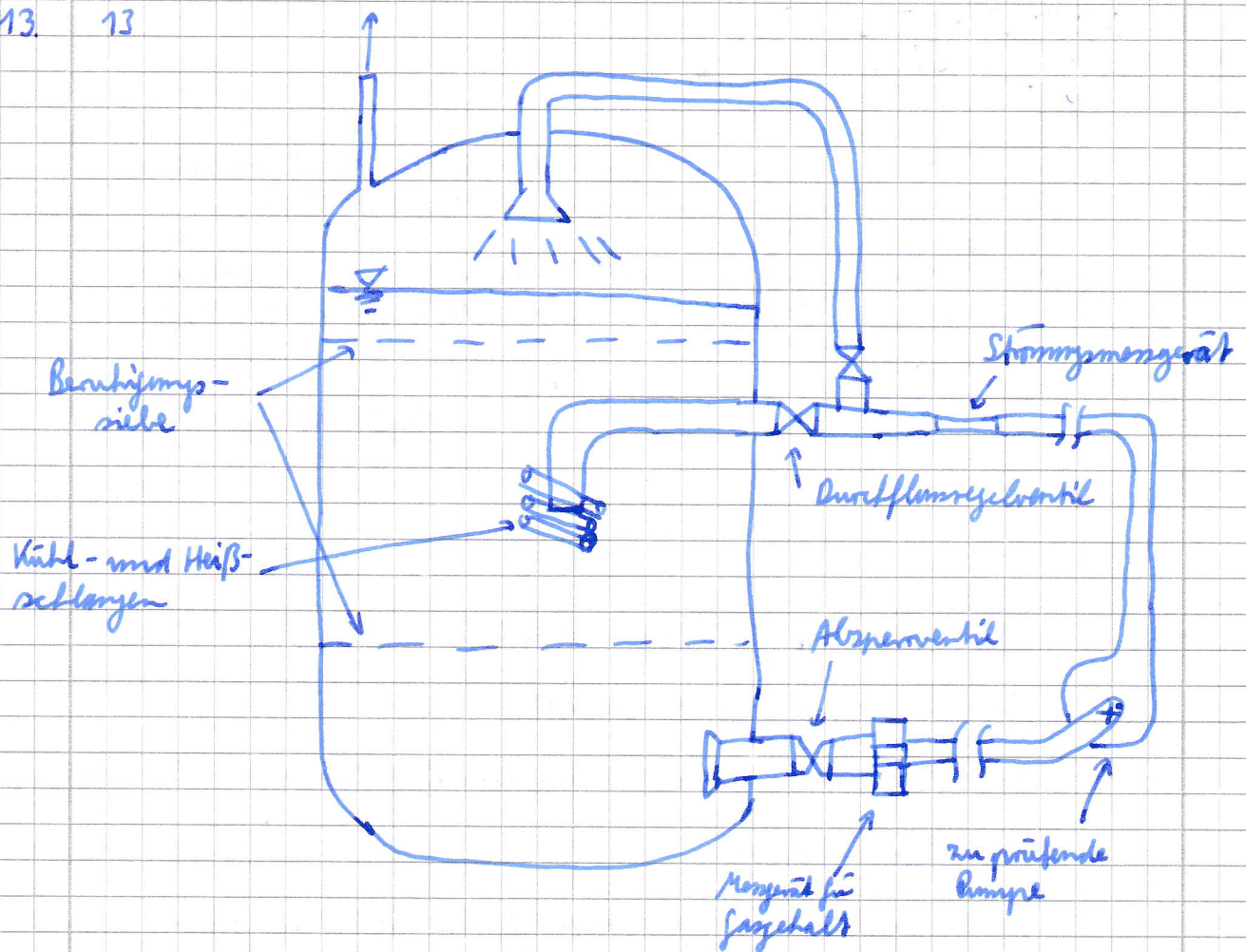
- Def. Maß am Materialabtrag durch Kavitation

- Def. Geräuschanstieg

- spez. Lebensdauer des Saugantriebes (d.h. Laufzeit der ersten Stufe)

13. 12 - Erhöhen der Zulaufhöhe bzw. Verringern der Saughöhe  
 - Verringern der Eintrittsgeschwindigkeit durch Vergrößern der Rohrleitung  
 - Verringern der Zulaufverluste durch  
   - Verkürzen des Saugrohres  
   - Erhöhen des Saugrohdurchmessers  
   - Verringern der Wandschaffigkeit

13. 13



14. 1 - Eine Curtis - Stufe ist eine Stilbenanströmung gleichdruck -  
stufe im einfacher Curtis - Bauart.
- dient zur Regelung von Dampfturbinen
  - Beaufschlagung wird durch Zu- und Abschalten von  
Düsengruppen veränderbar.

14. 2 - Föttinger - Getriebe basieren auf dem Prinzip der  
hydromechanischen Leistungsrückspeisung.

- Dabei wird eine Kreiselpumpe mit einer Flüssigkeits -  
Turbine in einem gemeinsamen Gehäuse untergebracht  
und bilden das sogenannte Hauptglied. Die Pumpe ist  
mit der Antriebswelle verbunden, die Turbine mit der  
Abtriebswelle. Über die Pumpe wird dem Fl. im Gehäuse  
Strömungsleistung hinzugefügt, die von den Schaufeln der  
Turbine wiederum aufgenommen werden kann.

14. 3 - Kammerbauweise

14. 4 - Curtis - Turbine

- Laval - Turbine